INSTITUTO GEOLOGICO Y MINERO DE ESPAÑA

MAPA GEOLOGICO DE ESPAÑA 1:50.000

MAGNA

ALBUM DE FOTOGRAFIAS DE LA

HOJA 16-30 757

PUEBLA DE DON RODRIGO

COMPAÑIA GENERAL DE SONDEOS, S.A.

Noviembre de 1.986

COLECCION DE FOTOGRAFIAS

PV 9100.- Detalle del conglomerado basal del Ordovícico (Tremadoc), SSO del Cerro del Grajo (U. 5).

PV 9101.- Marcas de perforaciones de arenícolas (Skolithus) en la cara superior de un estrato cuarcítico. Serie de areniscas, cuarcitas y pizarras del Tremadoc. SO del Cerro del Grajo (U. 7).

PV 9102.- Cuarcita Armoricana en bancos delgados. 0,5 Km. al E. del Cerro Altero (N. de Agudo) (U. 8).

PV 9103.- Ripples en areniscas micáceas. Serie de areniscas, cuarcitas y pizarras alternantes del Arenig.-Llanvirn. ("Capas Pochico"). NNO de la Casa de La Celadilla (U. 9).

PV 9104.- Area acarcavada de afloramientos de las Pizarras de Neseuretus (Llanvirn.-Llandeilo). 1 Km al ENE de Puebla de Don Rodrigo, junto a la carretera a Arroba de los Montes (U. 10).

PV 9105.- Aspecto de las Pizarras de Neseuretus (Llanvirn.-Llandeilo). 3 Km. al ENE de Puebla de Don Rodrigo, junto a la Carretera a Arroba de los Montes (U. 10).

PV 9106.- En primer término, trás el matorral, afloramientos de tobas y materiales volcanoclásticos en general, intercalados en las Pizarras de Neseuretus (Llanvirn.-Llandeilo). Al fondo, la Cuarcita Armoricana, elevada mediante fractura (Cerro Abanto; SE de Puebla) (Uds. 8 y 11).

PV 9107.- Detalle de las tobas intercaladas en las Pizarras de Neseuretus (Llanvirn.-Llandeilo). Inmediatamente al S. de Cerro Abanto (U. 11).

FN 9108.- Nódulos en las Pizarras de Neseuretus (parte alta). Junto a la confluencia de los arroyos de Doña Juana y del Valle Horcajo (NO de Puebla) (U. 10).

PV 9109.- Pizarras (Pizarras "Intermedias"; "Pizarras Cantera") del Caradoc. mostrando esquistosidad de fractura. Cara superior del estrato. Parte baja del Arroyo de Valdelobillos (NO de Puebla) (U. 15).

PV 9110.- Limos arenosos y materiales conglomeráticos definiendo secuencias. Materiales terciarios (probablemente Plioceno inferior) infrayacentes a la raña. 3 Km al O. de Puebla, en el talud de la carretera a Badajoz (U. 20).

PV 9111.- Aspecto de la raña. Cantos y bloques subangulosos, cuarcíticos, dispuestos caóticamente en una matriz arcillosa. 3,5 Km. al O de Puebla, en el talud de la Carretera a BAdajoz. (U. 21).

PV 9112.- Detalle de la raña, con pequeñas concentraciones locales de óxidos de hierro. 6,5 Km al SW de Puebla, en el Vallejo del Caballo. (U. 21).

PV 9113.- Glacis (laderas cultivadas, en segundo término) de enlace entre la raña (horizonte superior, derecho) y los sistemas de terrazas cuaternarias (4ª y 5ª) del Guadiana (en primer término y correspondiendo aquí, localmente, a una zona endorreica instalada sobre un meandro abandonado de ese rio). 2,5 Km. al S. de Puebla, junto a la Carretera a Ciudad Real.

PV 9114.- Detalle de materiales conglomeráticos del glacis, sobre pizarras ordovícicas. 1,5 Km al N. de Puebla. (U. 33).

PV 9115.- Materiales conglomeráticos de la 4ª terraza del Guadiana sobre pizarras de Neseuretus. Trinchera junto al puente de la Carretera de Puebla a Arroba. (U. 28).

PV 9116.- Pedreras o canchales de bloques cuarcíticos. Solana de la Sierra del Bonal (U. 38).

PV 9117.- Detalle de pedrera o anchal: Acumulación de bloques cuarcíticos subangulosos, sin matriz. Solana de la Sierra de Bonal (U 38).

PV 9118.- La Cuarcita Armoricana en la primera sierra entre Puebla y - Arroba, vista desde el Valle del Guadiana. Observese el enrasamiento de cumbres que definiría una probable superficie erosiva anterior (y a mayor cota) que la raña (U. 8).

PV 9119.- Hombrera (desarrollada sobre Capas Pochico; la Cuarcita Armoricana está al fondo e izquierda) correspondiente a la superficie de raña. Abajo y a la derecha, el Valle del Guadiana. - Se observan la Casa de la Celadilla y la carretera de Ciudad Real a Puebla. Foto tomada hacia el Oeste.

PV 9120.- Encajamiento de la red hidrográfica actual (arroyo de Doña - Juana en segundo término, 10 Km al NO. de puebla) en la superficie de raña (primero y tercer términos). Al fondo, el horizonte superior define la probable superficie erosiva ante-raña, desarrollada sobre Cuarcita Armoricana (Cerro Palancasillo y sierra de los Bueyes).

PV 9121.- Laguna Tobarejo (5 Km. al NO de Puebla). Pequeña zona endorreica en la coalescencia de varios abanicos aluviales de raña (U 39).

PV 9122.- El característico cerro cónico situado al NE. de Agudo. Resto erosivo de Ordovícico inferior (coronado por Cuarcita Armoricana) sobre pizarras precámbricas. (Uds. 2 y 8).

PV 9123.- Arenisca marrón, rica en circón y rutilo detríticos; sobre - ella y mediante contacto erosivo, se dispone una cuarcita - blanca con ripples. Parte alta de las Capas Pochico (Arenig.- Llanvirn.), entre la primera y segunda Hoces del Guadiana. (U. 9).

PV 9124.- Concentraciones locales de óxidos de hierro en la raña, Vallejo del Caballo (6,5 Km al SW de Puebla de Don Rodrigo) (U. 21)

DIAPOSITIVAS

PV 9125.- La formación areniscosa del Tremadoc al Sur de Arroba (U. 7).

PV 9126.- La Cuarcita Armoricana en el flanco Norte del sinclinal de Puebla de Don Rodrigo. Vista tomada desde la carretera Puebla -Arroba y hacia el Oeste.

PV 9127.- "Capas Pochico" (alternancias areniscoso-pizarrosas del Arenig.-Llanvirn.) en primer término y, al fondo, la Cuarcita - Armoricana. Nótese la existencia de un tramo blando, eminentemente pizarroso, local entre ambas formaciones. Sierra de Enmedio. Zona plegada de tránsito entre el flanco Norte del Sinclinal de Puebla y el flanco Sur del anticlinal de Arroba - Navalpino (U. 9).

PV 9128.- Pizarras bandeadas del tramo blando entre las "Capas Pochico" y la Cuarcita Armoricana. Sierra de Enmedio (vease, también, la descripción anterior).

PV 9129.- Alternancias areniscoso-pizarrosas "Capas Pochico" (Arenig.-Llanvirn.). Flanco Norte del sinclinal de Puebla de Don Rodrigo, junto a la Carretera a Arroba (U. 9).

PV 9130.- Ripples de oleaje. Cara superior de un estrato areniscoso-cuarcítico. "Capas Pochico" (Arenig.-Llanvirn.) de la Sierra de Enmedio. Junto a la Carretera de Puebla de Don Rodrigo a Arroba (U. 9).

PV 9131.- Pistas orgánicas en la cara superior de un estrato areniscoso -cuarcítico. "Capas Pochico" (Arenig.-Llanvirn.). Flanco Norte del sinclinal de Puebla de Don Rodrigo. Junto a la Carretera de Puebla a Arroba (U. 9).

PV 9132.- Nódulos en las Pizarras de Neseuretus (Llanvirn.-Llandeilo) (U. 10).

PV 9133.- La barra cuarcítica del Caradoc. en el sinclinal de Puebla de Don Rodrigo. (U. 14).

PV 9135.- Canto en las "Pelitas con Fragmentos" (Ordovícico sup.-Silúrico inf.). Flanco Norte del sinclinal de Herrera del Duque (U. 16).

PV 9136.- Dique de cuarzo subvertical, orientado NNO-SSE., atravesando "Capas Pochico" (alternancias-cuarcíticas del Arenig.-Llanvirn.) en las Hoces del Guadiana (U. 1).

PV 9137.- Afloramiento de filón de cuarzo NO-SE atravesando "Capas Pochico". (Alternancias areniscoso-cuarcíticas del Arenig.-Llanvirn.). (U. 1).

PV 9138.- Superficie de raña-Plioceno superior (horizonte superior). Debajo (y el resalte del primer plano) conglomerados ferruginosos del Plioceno inferior basal (Uds. 19 y 21).

PV 9139.- Conglomerados de cemento ferruginoso. Plioceno inferior basal (U. 19).

PV 9140.- Canchal o pedrera en la cabecera actual, desarrollada a partir de la Cuarcita Armoricana. Sierra de Enmedio (U. 38).

PV 9141.- Pliegue con pizarras y grauvacas del Precámbrico superior. - Arroyo de Valtriguero (U. 2).

PV 9142.- Esquistosidad de plano axial buzante al Norte (a la izquierda de la foto) y estratificación buzante al Sur (a la derecha). En areniscas del Tremadoc. Flanco Sur del anticlinal de Arroba-Navalpino. (U. 7).

PV 9143.- Estratificación y esquistosidad de plano axial con alternancias pizarroso-cuarcíticas del Llandeilo superior (Fm. equivalente a las "Areniscas de Los Rasos"). (U. 12).

PV 9144.- Anticlinal de amplitud hectométrica en la Cuarcita Armoricana Sierra de Enmedio. Zona plegada de tránsito entre el flanco Norte del sinclinal de Puebla de D. Rodrigo y el flanco Sur del anticlinal de Arroba-Navalpino (U. 8).

PV 9145.- Pequeño anticlinal de amplitud deca/hectométrica en "Capas Pochico" de las Hoces del Guadiana. Zona plegada de tránsito entre el flanco Norte del sinclinal de Puebla de Don Rodrigo y el flanco Sur del anticlinal de Arroba-Navalpino (U. 9).

PV 9146.- El paisaje del Plioceno superior muy bien conservado. En primer término, superficie de colmatación de la raña. Al fondo, cerros (relieves residuales) constituidos por Cuarcita Armoricana. Formas de enlace (coluviones de raña) entre ambos.

PV 9147.- Id. explicación como la anterior. Algunos de los relieves residuales forman montes-islas.

PV 9148.- Formas de enlace (coluviones de raña) entre los relieves cuarcíticos y la superficie de raña, aquí profundamente incidida por la red hidrográfica cuaternaria (U.22).

PV 9149.- Pequeño cono de deyección de raña disectado por un arroyo actual (U. 23).

PV 9150.- La superfiice de colmatación de raña con el sinclinal de Puebla de Don Rodrigo, profundamente incidida por la red hidrográfica cuaternaria (U. 21).

PV 9151.- De último a primer término:
- Restos de la superficie de raña, adosada a las sierras de Cuarcita Armoricana y conservada sobre las "Capas Pochico" (U. 21).
- Glacis de vertiente y de enlace entre aquella y el cuaternario del Valle del Guadiana (U. 33).
- Cuaternario (terrazas 4ª y 5ª) del Valle del Guadiana (Uds. 27 y 28).

PV 9152.- Diversos episodios de glacis de vertiente desarrollados entre la superficie de raña (en último término) y el Cuaternario del Valle del Guadiana (en término medio). Aguas arriba inmediatamente de Pueba de Don Rodrigo.

PV 9153.- Meandro del Guadiana inmediatamente al NNE de puebla de Don Rodrigo. Las planicies contiguas corresponden a las 2ª, 3ª y 4ª terrazas del río (Uds. 27, 28, 29).

PV 9154.- Pequeñas cárcavas desarrolladas en Pizarras de Neseuretus - (Llanvirn.-Llandeilo) alteradas bajo la raña (U. 10).

PV 9155.- Cemento ferruginoso en conglomerados del Plioceno inferior basal (U. 19).

PV 9156.- Extracción local y esporádica de coluviones cuarcíticos para el firme de carretera (U. 34.)

JP 9401.- Panorámica de la cuarcita armoricana. Carretera de Arroba (U. 8)

JP 9402.- Ripples de oscilación en las Alternancias de Pochico-Carretera de Arroba (U. 9).

JP 1044.- Ripples de oscilación en las Alternancias de Pochico. Carretera de Arroba (U. 9).

JP 1045.- Ripples de oscilación en las Alternancias de Pochico. Carretera de Arroba (U. 9).

JP 1049.- Estratificación cruzada Hummocky de gran escala en las Alternancias de Pochico. Carretera de Arroba (U. 9).

JP 1050.- Bioturbación a techo de capa en las Alternancias de Pochico Carretera de Arroba (U. 9).

JP 1051.- Erosiones y ripples de oscilación de larga onda en las capas de Pochico. Carretera de Arroba (U. 9).

JP 1052.- Techos ondulados y adaptación. Capas de Pochico. Carretera de Arroba (U. 9).

JP 1053.- Erosiones y compensaciones. Techo de las Alternancias de Pochico. Carretera de Arroba (U. 9).

JP 1056.- Ripples de oscilación y facies arcillosas de las Areniscas de Los Rasos. Corte del Rio Guadiana (U. 12).

JP 1057.- Lutitas con linsen, ripples de oscilación y bancos con laminación paralela. Areniscas de Los Rasos. Rio Guadiana (U. 12).

JP 1059.- Cuarcita de Cantera en el Barranco de Valdelobillos (U. 14).

JP 1065.- Laminación paralela en la cuarcita de Canteras. Barranco de Valdelobillos (U. 14).

JP 1069.- Estratificación cruzada de surco. Cuarcita de Canteras. Barranco de Valdelobillos (U. 14).

JP 1070.- Estratificación Hummocky en la cuarcita de Canteras. Barranco de Valdelobillos (U. 14).

JP 1071.- Pliegues de ejes verticales en las Areniscas de Los Rasos (U. 12).

JP 1072.- Pliegues de ejes verticalizados y charnelas curvas. Precámbrico (U. 2).

JP 1073.- Idem foto anterior.

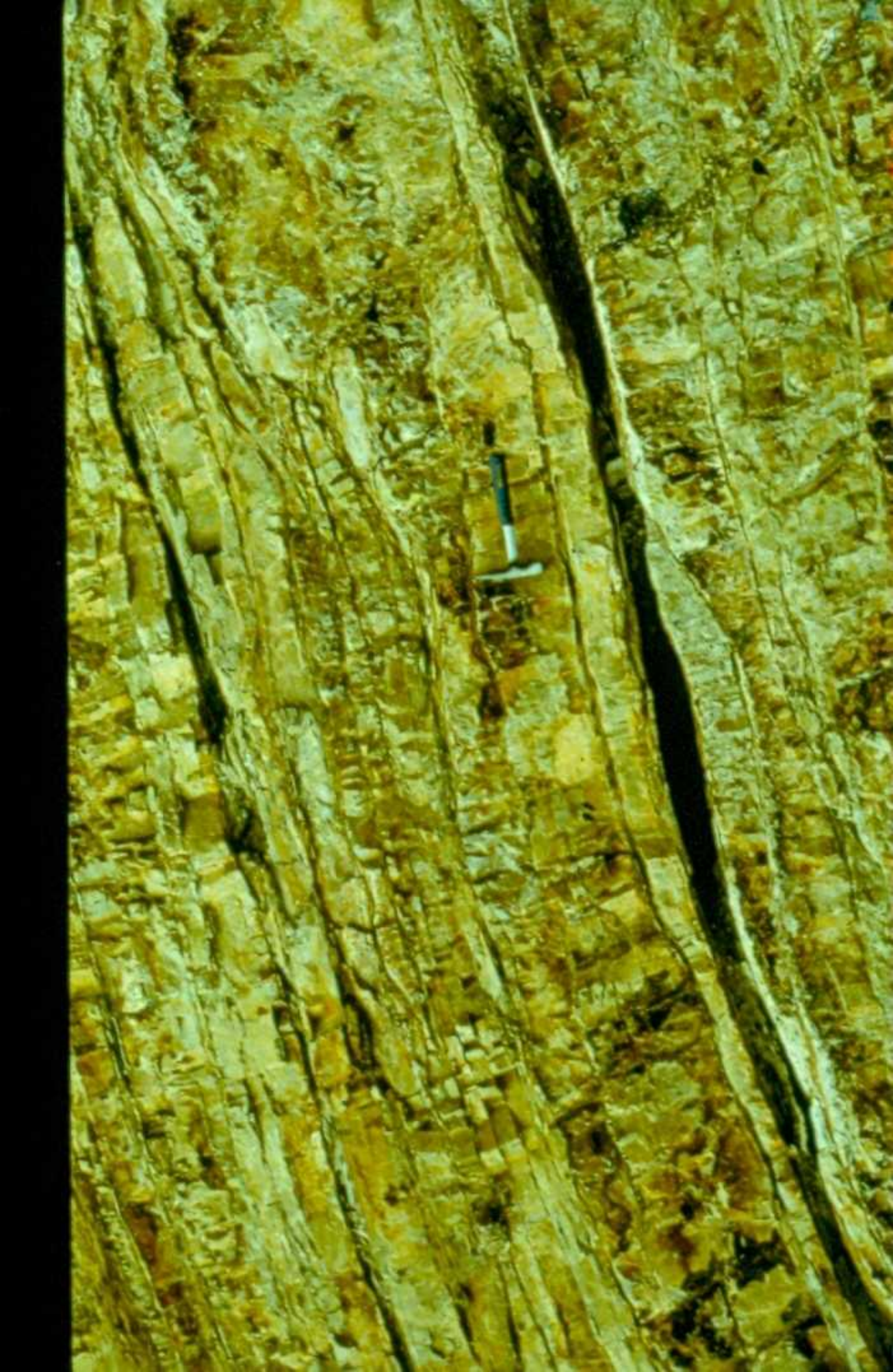






44


















BAND-AIDS













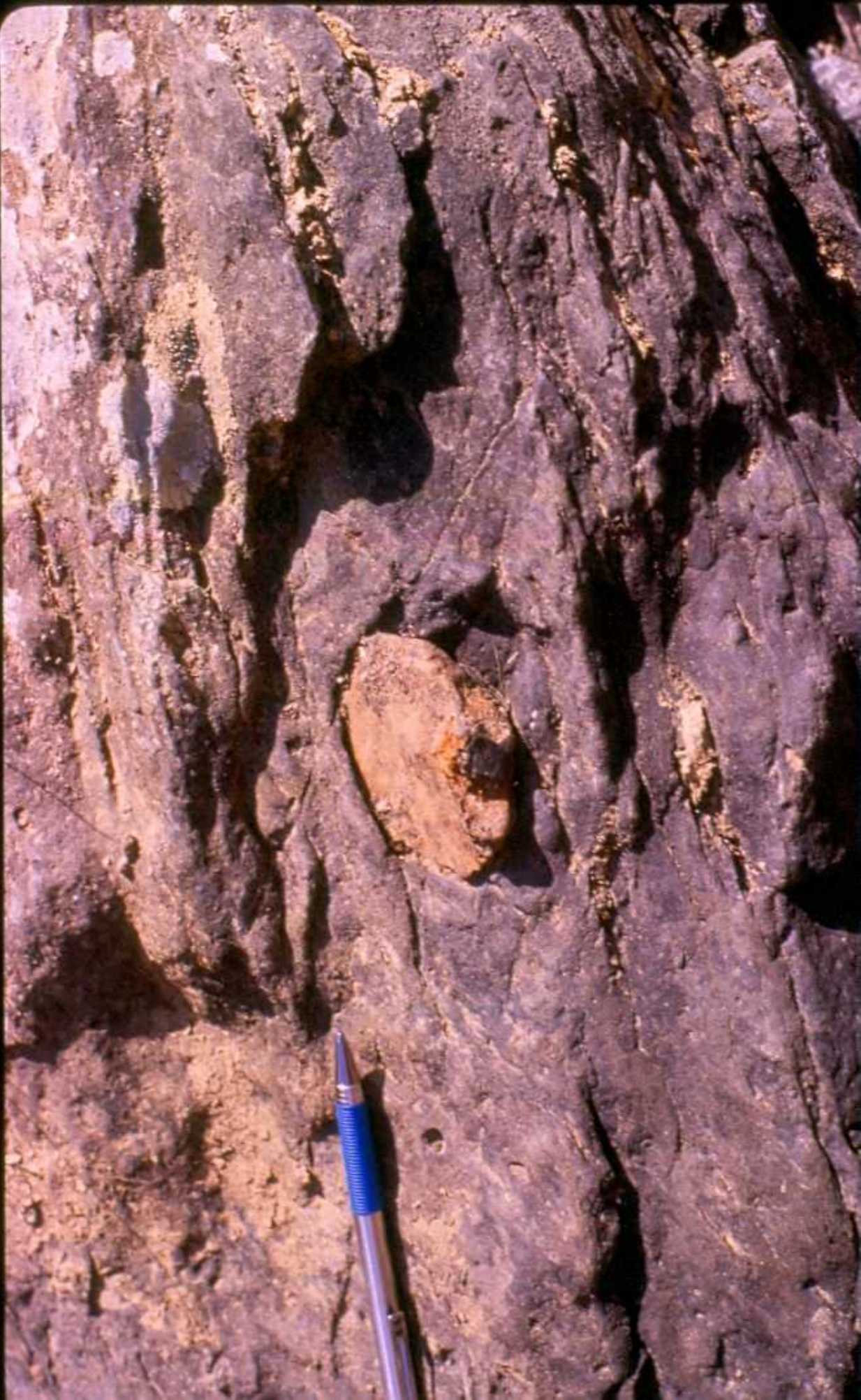


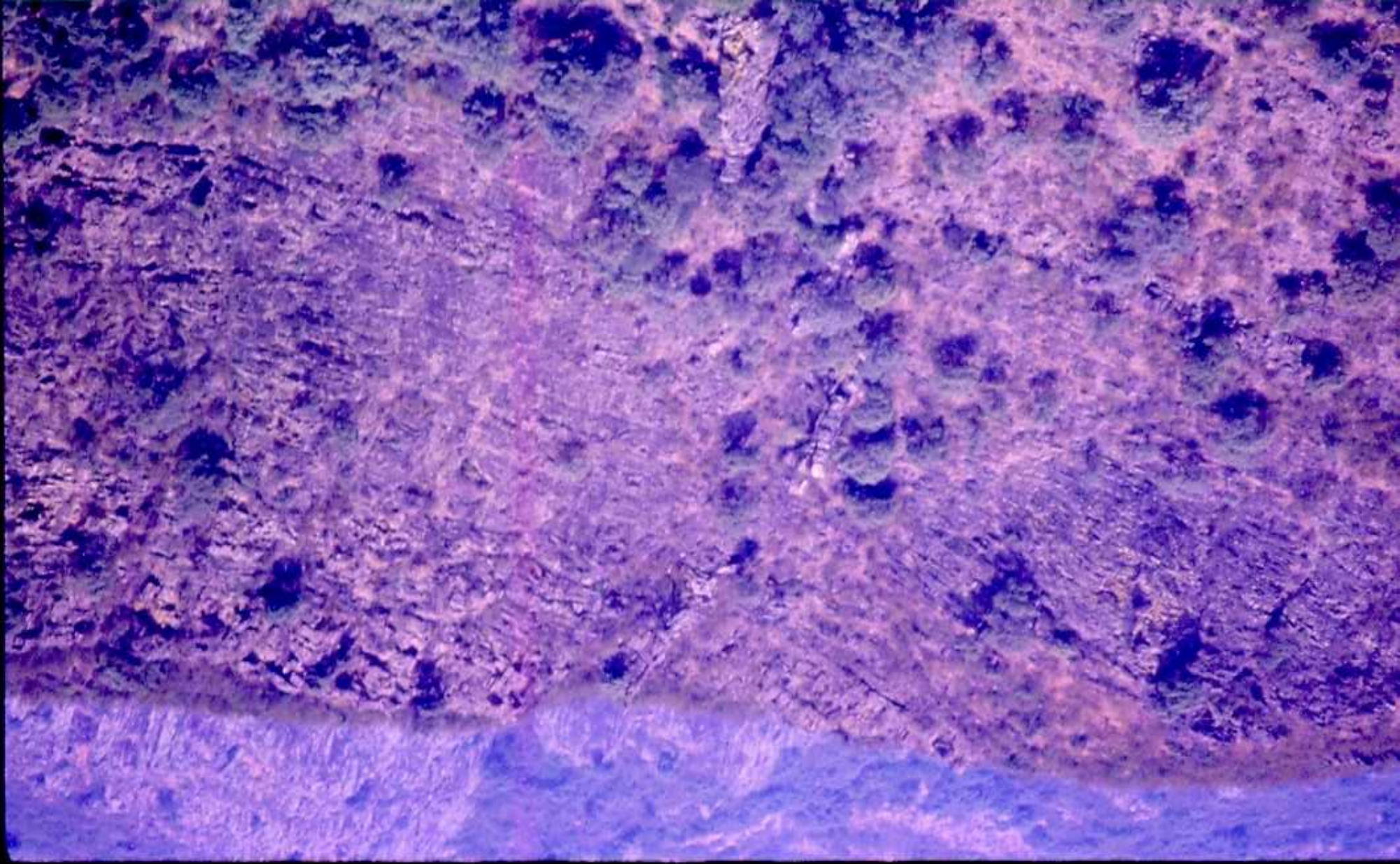



ASAHI
PENTAX

ASAHI
XANTUS















T












9100


9101


9102

9103


9104


9105


9106


9107

9108


9109


9110


9111


9112


9113


9114


9115

9116

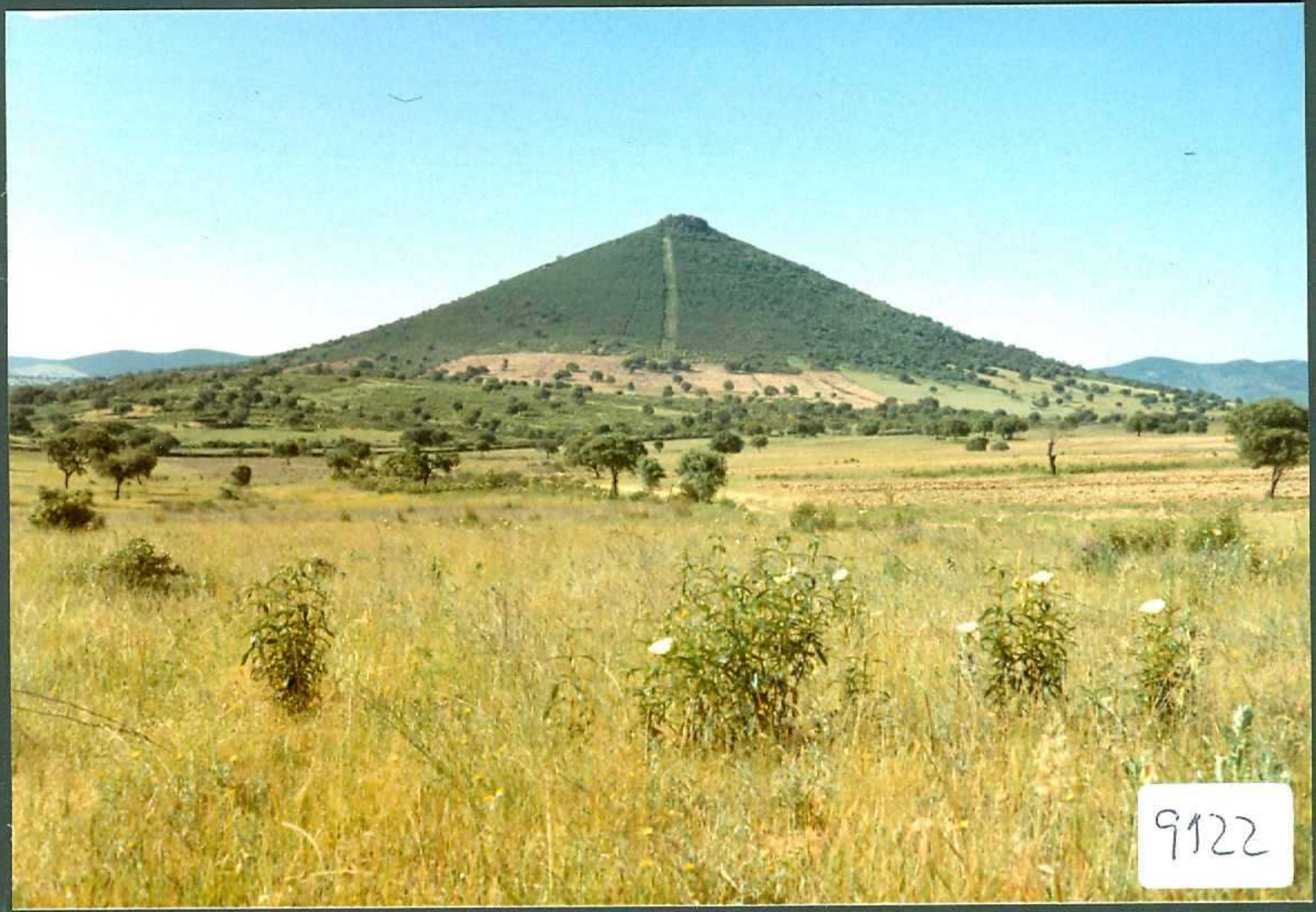

9117


9118


9119


9120


9121


9122


9123


9124